

201-② 信号交差点の右折車線長について
—信号制御要因を中心として—

九州大学 正員 ○ 出口 近士
九州大学 正員 沼田 寧
九州大学 学生員 平間 宏

1.はじめに

本研究は信号交差点の右折車停滞と交通要因、道路要因および信号制御要因との関連を Simulation により解析し、それら条件下における右折車線長の算定を目的としたものである。右折車停滞確率は右折車および対向直進車交通量が一定量を越えると 10% 近傍で急激な増加を示すところから、この停滞確率 10% より右折車線の許容停滞確率の一応の目安と考えられることを既に発表した。¹⁾ 今回の報告はその続報となるもので、ランダム到着の対向 2 車線交通の交差点について観測値によるモデル化の検証を加えると共に、右折車線長と交通要因、特に信号制御要因との関連について二、三の考察を加えるものである。

2. 観測結果およびモデルの検証

前回の報告では Simulation モデルの検証として、対向直進車交通の平均待ち時間を取り上げ、これについて Simulation 値と Webster の半実験式とを比較した。それによれば時間交通量 100~1000 台の範囲でその差異は最大 5 sec 程度であり、モデルの一応の精度が得られた。今回は更に右折車交通についてビデオカメラによる観測を行い、これより平均待ち時間、滞留確率および停滞確率を測定し、これと Simulation 値とを比較した。この観測地点は福岡県直古原-太宰府線篠栗交差点(昭和 56 年 11 月 10 日(火)、曇り)であり、観測値はそれぞれ右折車交通量: 121~180 (veh/hr), 右折大型車混入率: 0.12~0.34, 対向直進車交通量: 284~498 (veh/hr) の範囲である。また信号制御方式は赤・青・黄の 3 現示方式でサイクル長: 130 sec, 各現示時間はそれぞれ赤: 70, 青: 57, 黄: 3 sec である。なお Simulation の変遷に当っては信号現示を赤・青 2 現示とし、黄は青に含めるものとした。

図-1, 2 は赤現示開始時並びに青現示開始時ににおける滞留確率である。また図-3, 4 はそれぞれ右折車の平均待ち時間と停止線上流部 6 m 附近における停滞確率について横軸に

観測値を、縦軸に Simulation 値ととり図示したものである。これらうち待ち時間の測定において停止車両かの判定が困難であったため、図-3 の平均待ち時間へは車両ではなく適合度が近いものと、その他はいずれも観測値と比較的よく合致しており、ランダム到着の 2 車線交通に対してもモデルの妥当性が立証された。

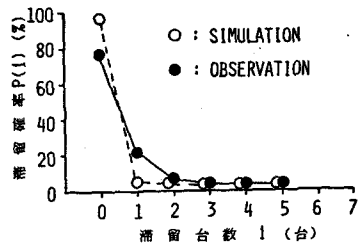


図-1 赤現示開始時ににおける滞留確率

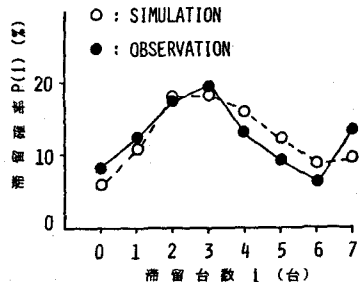


図-2 青現示開始時ににおける滞留確率

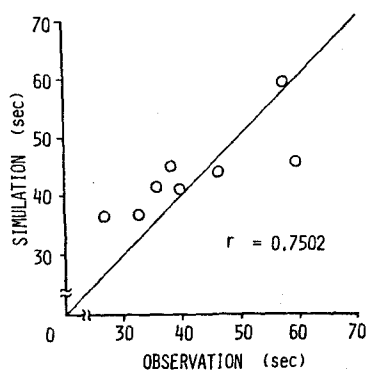


図-3 右折車平均待ち時間

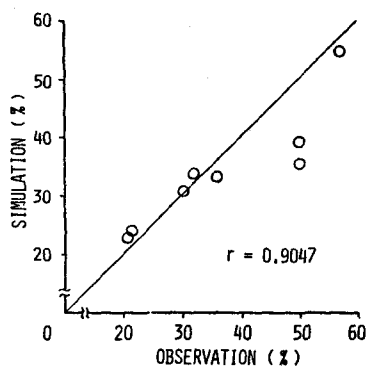


図-4 停滞確率

3. Simulation 結果および考察

前述のようすに右折車線の許容停滯石墨率は10% ザ-応の基準と考えらるることから、信号制御要因を固定して直通要因をそれぞれ右折車交流量QR:100~500(veh/hr), 右折大型車混入率G/C:0~0.6, 対向直進車交通量QS:100~1000(veh/hr)に変化させてSimulationを実施し、停滯石墨率10%を超えるための所要右折車線長 l_s' (m)を求めた。これより、信号制御要因を固定した場合の所要右折車線長と直通要因について回帰分析を行った結果、その影響度は右折車交流量、対向直進車交流量、右折大型車混入率の順に大きく、右折大型車混入率は他の要因に比べ小さいことわざる。²⁾そこで更に所要右折車線長と信号制御要因との関連を分析するため、信号制御要因をそれぞれ信号サイクル長C:80, 120, 150 sec, 青緑示スプリット比G/C:0.3~0.7に変化させてSimulationを行い解析を進めた。

図-5, 6はこれらうち右折車交通量が少ないQR=100(veh/hr)について信号サイクル長Cをパラメータとし、それぞれ青緑示スプリット比G/C:0.3および0.7について図示したものがである。これより、右折車交流量が少なり場合には所要右折車線長の信号サイクルによる差異は青緑示スプリット比ザ-マニシ程顕著であることをわざる。次に信号サイクル別に下式による回帰分析を行った。なお右折大型車の影響は前述のようすに他の要因に比べ小さいことから、解析に当たってはこれを小型車に換算し右折車交通量に加算して。

$$l_s' = \exp (a_1 \cdot \%G + a_2 \cdot QR + a_3 \cdot QS) \quad (1)$$

表-1は上式の標準偏回帰係数および重相関係数を示したものである。これによれば、右折車交流量の標準偏回帰係数は信号サイクル長の増加に伴いやや減少するものの、他のそれより相対的に大きくサコ変化量は小さい。逆に対向直進車交流量はそれは増加している。以上より、右折車線長と信号サイクル長との関連について次の事が考察できる。

- 1) 右折車線長の決定に当たっては、右折車交通量のみでなく対向直進車交通量、青緑示スプリット比も考慮すべきである。
- 2) 時間的に右折車交通量へ変化が激しい交差点においては、所要右折車線長は信号サイクル長に余り左右されない。
- 3) 時間的に対向直進車交通量の変化が激しい交差点、並びに右折車交流量が少くかつ青緑示スプリット比も小さい交差点においては、信号サイクル長を短くする方が有利である。
- 4) おわりに

以上、所要右折車線長と交通要因並びに信号制御要因との関連を解析した結果、右折車線長の決定に当たっては信号サイクル長への導入への配慮が重要であることが明らかとなつたが、これらの定量的解析につけてはなお不十分であり、更にこれらへの検討を進めたい。また右折車線の設置のめどはコントロールに限界がある場合は、信号制御要因への配慮が重要であるが、その決定については他の要因への考察も不可欠であり、今後これらの総合的解析を図りたい。
参考文献 1) ミューレンによる右折車線長の算定に座標-考察、出口・沿田、第36回年次技術講演会講演概要集、S56.10

2) 信号交差点の右折車線長について一ミューレンによる方法、出口・沿田、九大工学集報 第54巻第6号、S56.12

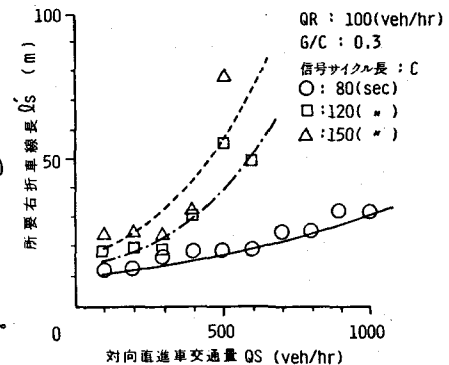


図-5 所要右折車線長(G/C=0.3)

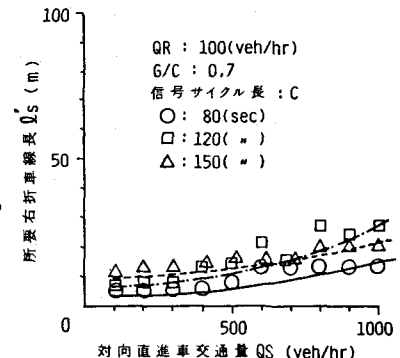


図-6 所要右折車線長(G/C=0.7)

表-1 標準偏回帰係数および重相関係数

信号サイクル長 (sec)	標準偏回帰係数			R
	a ₁	a ₂	a ₃	
80	-0.4178	1.0345	0.3814	0.892
120	-0.5864	1.0097	0.5431	0.929
150	-0.6046	0.9318	0.5671	0.907